

УДК 539.4:621.772

## ВЛИЯНИЕ ГЕОМЕТРИЧЕСКИХ ПАРАМЕТРОВ ОБМОТКИ НА НАПРЯЖЕННОЕ СОСТОЯНИЕ ЦИЛИНДРИЧЕСКОЙ ОБОЛОЧКИ

А.И.Айнабеков, У.С.Сулейменов, Н.Ж.Жанабай  
ЮКГУ им. М.Ауезова, г.Шымкент

Для повышения несущей способности и существенной экономии металла цилиндрических оболочек в различных отраслях техники применяется предварительное напряжение [1-3]. Наиболее эффективным видом предварительного напряжения в цилиндрических оболочках является навивка высокопрочного профиля на корпус оболочки под углом или перпендикулярно к образующей оболочки.

Известно, что предварительное напряжение дает возможность управления напряженно – деформированным состоянием предварительно напряженной оболочки путем изменения главным образом параметров предварительного напряжения: усилия, шага и угла навивки нити обмотки [3].

Рассмотрим тонкостенную оболочку, предварительно напряженную высокопрочной проволокой.

Примем материал стенки оболочки и проволоки обмотки изотропной. Все параметры, относящиеся к стенке оболочки, обозначим индексом «с», к проволоке – «п».

Условие равновесия элемента стенки оболочки будет следующим:

$$\sigma_{1PH}(l_c \delta_c + l_n \delta_n) = \sigma_{1c} \delta_c l_c + \sigma_{1n} \delta_n l_n \quad (1)$$

где  $\sigma_{1PH}$  - окружные напряжения в предварительно напряженной оболочке;  $\sigma_{1c}$  и  $\sigma_{1n}$  - окружные напряжения соответственно в стенке оболочки и в проволоке обмотки,  $\delta_c$  - толщина стенки оболочки,  $\delta_n$  - приведенная толщина намотки,  $l_c$  - длина образующей оболочки,  $l_n$  - ширина намотки.

Установим связь напряжения в нити обмотки  $\sigma_n$  с главными напряжениями в слое обмотки, в соответствии с рисунком 1 [4].

$$\sigma_{1n} = \frac{d}{ds_1} \left( \sigma_n \sin \alpha \delta_{on}^2 \frac{l_1}{a} \sin \alpha \right) = \frac{\delta_{on}}{a} \sigma_n \sin^2 \alpha, \quad (2)$$

где  $\frac{l_1}{a} \sin \alpha$  - число витков нити, пересекающих участок  $l_1$ ;  $s_1 = \delta_{on} l_1$  - произвольно выбранная элементарная площадка в окружном направлении;  $\sigma_n$  - напряжение в нити обмотки,  $a$  - шаг навивки нити обмотки.

Подставляя (2) в условие равновесия элемента стенки предварительно напряженной оболочки (1), получим:

$$\sigma_{1n}(l_c \delta_c + l_n \delta_n) = \sigma_{1c} \delta_c l_c + \frac{\delta_{on}}{a} \sigma_n \sin^2 \alpha \delta_n l_n \quad (3)$$

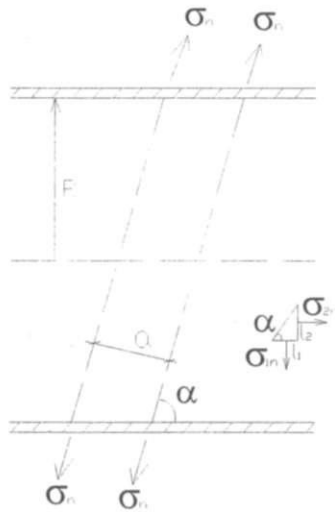


Рисунок 1 - Схема навивки нити обмотки на стенку оболочки при наклонной намотке

Напряжение в предварительно напряженной оболочке нагруженной внутренним давлением, определяется из

$$\sigma_{PH} = \frac{pR}{\delta_c + \delta_n}, \quad (4)$$

где  $p$  - внутреннее давление;  $R$  - радиус кривизны оболочки.

Подставив (4) в соотношение (3), получим:

$$\frac{pR(l_c \delta_c + l_n \delta_n)}{\delta_c + \delta_n} = \sigma_{1c} \delta_c l_c + \frac{\delta_{on}}{a} \sigma_n \sin^2 \alpha \delta_n l_n, \quad (5)$$

В соответствии с [4], величины радиуса  $R$ , толщины оболочки  $\delta_c$ , приведенной толщины обмотки  $\delta_n$ , длины образующей оболочки  $l_c$  и ширина обмотки  $l_n$  связаны с их исходными геометрическими значениями  $R_o$ ,  $\delta_{co}$ ,  $\delta_{no}$ ,  $l_{oc}$ ,  $l_{on}$  следующими соотношениями:

$$R = R_o e^{\varepsilon_{1pc}}; \delta_c = \delta_{oc} e^{\varepsilon_{3pc}}; l_c = l_{oc} e^{\varepsilon_{2pc}}; \delta_n = \delta_{on} e^{\varepsilon_{3pn}}; l_n = l_{on} e^{\varepsilon_{2pn}}, \quad (6)$$

где  $\varepsilon_{1pc}$ ,  $\varepsilon_{2pc}$ ,  $\varepsilon_{3pc}$  - пластические деформации стенки оболочки соответственно в окружном, осевом и радиальном направлениях;  $\varepsilon_{2pn}$ ,  $\varepsilon_{3pn}$  - пластические деформации обмотки в направлении продольной оси оболочки и в радиальном направлении;  $e$  - основание натурального логарифма.

Исходную приведенную толщину обмотки  $\delta_{on}$  можно определить по исходному диаметру проволоки  $d_o$  и числу слоев в намотке  $n$  по следующей формуле:

$$\delta_{on} = 0,5d_o \sqrt{\pi n} \quad (7)$$

Используя условие постоянства объема при пластической деформации  $\varepsilon_{1p} + \varepsilon_{2p} + \varepsilon_{3p} = 0$ , будем иметь:

$$\varepsilon_{2p} + \varepsilon_{3p} = -\varepsilon_{1p} \quad (8)$$

Учитывая, что в рассматриваемом элементе предварительно напряженной оболочки  $l_{oc} = l_{on} = l_o$ , из выражения (5) с учетом (6) и (8) получим выражение для внутреннего давления в предварительно напряженной оболочке:

$$p = \frac{\left( \sigma_{lc} \delta_{oc} e^{-\varepsilon_{1pc}} + \sigma_n \delta_{on} e^{-\varepsilon_{1pn}} \sin^2 \alpha \right) \left( \delta_{oc} e^{\varepsilon_{3pc}} + \delta_{on} e^{\varepsilon_{3pn}} \right)}{R_o e^{\varepsilon_{1pc}} \left( \delta_{oc} e^{-\varepsilon_{1pc}} + \delta_{on} e^{-\varepsilon_{1pn}} \right)} \quad (9)$$

Внутреннее давление  $p$  в предварительно напряженной оболочке можно определить также из следующего соотношения [2]:

$$p = \frac{2\sigma_{2c}\delta_c}{R} \quad (10)$$

Введем параметр напряженного состояния оболочки, который является отношением осевых напряжений оболочки к окружным:

$$k = \frac{\sigma_{2c}}{\sigma_{lc}} \quad (11)$$

Учитывая (6) и (11), преобразуем (10) в следующий вид:

$$p = \frac{2k\sigma_{lc}\delta_{oc}e^{\varepsilon_{3pc}}}{R_o e^{\varepsilon_{1pc}}} \quad (12)$$

Приравнивая правые части выражения (9) и (12), будем иметь:

$$\frac{2k\sigma_{lc}\delta_{oc}e^{\varepsilon_{3pc}}}{R_o e^{\varepsilon_{1pc}}} = \frac{\left( \sigma_{lc} \delta_{oc} e^{-\varepsilon_{1pc}} + \sigma_n \frac{\delta_{on}^2}{a} e^{-\varepsilon_{1pn}} \sin^2 \alpha \right) \left( \delta_{oc} e^{\varepsilon_{3pc}} + \delta_{on} e^{\varepsilon_{3pn}} \right)}{R_o e^{\varepsilon_{1pc}} \left( \delta_{oc} e^{-\varepsilon_{1pc}} + \delta_{on} e^{-\varepsilon_{1pn}} \right)} \quad (13)$$

Преобразуя выражение (13), получим:

$$\begin{aligned} 2k\sigma_{lc}\delta_{oc}^2e^{\varepsilon_{3pc}-\varepsilon_{1pc}} + 2k\sigma_{lc}\delta_{oc}\delta_{on}e^{\varepsilon_{3pc}-\varepsilon_{1pn}} &= \sigma_{lc}\delta_{oc}^2e^{\varepsilon_{3pc}-\varepsilon_{1pc}} + \sigma_{lc}\delta_{oc}\delta_{on}e^{\varepsilon_{3pn}-\varepsilon_{1pc}} + \\ &+ \sigma_n \frac{\delta_{on}^2}{a} \delta_{oc} e^{\varepsilon_{3pc}-\varepsilon_{1pn}} \sin^2 \alpha + \sigma_n \frac{\delta_{on}^3}{a} e^{\varepsilon_{3pn}-\varepsilon_{1pn}} \sin^2 \alpha \end{aligned} \quad (14)$$

и в окончательном виде после некоторых преобразований

$$\begin{aligned} \frac{\delta_{on}^3}{a} \sigma_n \sin^2 \alpha e^{\varepsilon_{3pn}-\varepsilon_{1pn}} + \delta_{oc} \frac{\delta_{on}^2}{a} \sigma_n \sin^2 \alpha e^{\varepsilon_{3pc}-\varepsilon_{1pn}} + \\ \delta_{oc}\delta_{on} \left( \sigma_{lc} e^{\varepsilon_{3pn}-\varepsilon_{1pc}} - 2k\sigma_{lc} e^{\varepsilon_{3pc}-\varepsilon_{1pn}} \right) + \delta_{oc}^2 \sigma_{lc} e^{\varepsilon_{3pc}-\varepsilon_{1pc}} (1-2k) = 0 \end{aligned} \quad (15)$$

Из условия постоянства объема напряженно – деформированного состояния оболочки, работающей в условиях двухосного напряженного состояния, можно найти напряжения и деформации, входящие в уравнение (15), из следующих соотношений [5]:

$$\begin{aligned} \sigma_{lc} &= \frac{\sigma_{ic}}{\sqrt{1-k+k^2}}; \quad \varepsilon_{ipc} = \frac{2\varepsilon_{1pc}}{2-k} \sqrt{1-k+k^2}; \\ \sigma_{lc} &= A_c \left( \frac{2\varepsilon_{1pc}}{2-k} \right)^{m_c} \left( 1-k+k^2 \right)^{\frac{m_c-1}{2}}; \\ \varepsilon_{2pc} &= \frac{2k-1}{2-k} \varepsilon_{1pc}; \quad \varepsilon_{3pc} = -\frac{1+k}{2-k} \varepsilon_{1pc} \end{aligned} \quad (16)$$

и для материала проволоки обмотки, работающего в условиях осевого растяжения:

$$\sigma_{ln} = \sigma_{in}; \quad \varepsilon_{1pn} = \varepsilon_{ipn}; \quad \varepsilon_{2pn} = \varepsilon_{3pn} = -0,5\varepsilon_{1pn} \quad (17)$$

Раскроем выражение (15) подставив выражения (16) и (17):

$$\begin{aligned}
& \frac{\delta_{on}^3}{a} \sigma_n \sin^2 \alpha e^{\frac{3}{2}\varepsilon_{1pn}} + \delta_{oc} \frac{\delta_{on}^2}{a} \sigma_n \sin^2 \alpha e^{-\frac{1+k}{2-k}\varepsilon_{1pc}-\varepsilon_{1pn}} + \\
& + \delta_{oc} \delta_{on} (A_c (\frac{2\varepsilon_{1pc}}{2-k})^{m_c} (1-k+k^2)^{\frac{m_c-1}{2}} e^{-\frac{1}{2}\varepsilon_{1pn}-\varepsilon_{1pc}} - \\
& - 2k A_c (\frac{2\varepsilon_{1pc}}{2-k})^{m_c} (1-k+k^2)^{\frac{m_c-1}{2}} e^{\frac{1+k}{2-k}\varepsilon_{1pc}+\varepsilon_{1pn}}) + \\
& + \delta_{oc}^2 A_c (\frac{2\varepsilon_{1pc}}{2-k})^{m_c} (1-k+k^2)^{\frac{m_c-1}{2}} (1-2k) e^{-\frac{3}{2-k}\varepsilon_{1pc}} = 0
\end{aligned} \tag{18}$$

При достижении материалом стенки оболочки в окружном направлении предела текучести  $\varepsilon_{1p} = 0.002$ , выражение (18) преобразуется в следующий вид:

$$\begin{aligned}
& \frac{\delta_{on}^3}{a} \sigma_n \sin^2 \alpha e^{1.5\varepsilon_{1pn}} + \delta_{oc} \frac{\delta_{on}^2}{a} \sigma_n \sin^2 \alpha e^{-\frac{1+k}{2-k}0.002-\varepsilon_{1pn}} + \\
& + \delta_{oc} \delta_{on} (A_c (\frac{0.004}{2-k})^{m_c} (1-k+k^2)^{\frac{m_c-1}{2}} e^{-0.5\varepsilon_{1pn}-0.002} - \\
& - 2k A_c (\frac{0.004}{2-k})^{m_c} (1-k+k^2)^{\frac{m_c-1}{2}} e^{\frac{1+k}{2-k}0.002+\varepsilon_{1pn}}) + \\
& + \delta_{oc}^2 A_c (\frac{0.004}{2-k})^{m_c} (1-k+k^2)^{\frac{m_c-1}{2}} (1-2k) e^{-\frac{0.006}{2-k}} = 0
\end{aligned} \tag{19}$$

Выражения (18) и (19) учитывают изменение напряженного состояния предварительно напряженной оболочки в процессе ее нагружения внутренним давлением.

Приближенное аналитическое выражение для параметра напряженного состояния с погрешностью, не превышающей 5-8%, можно получить, если принять  $(1-k+k^2)^{\frac{m_c-1}{2}} \approx 1$  при  $k \rightarrow 1$ :

$$\begin{aligned}
& \frac{\delta_{on}^3}{a} \sigma_n \sin^2 \alpha e^{1.5\varepsilon_{1pn}} + \delta_{oc} \frac{\delta_{on}^2}{a} \sigma_n \sin^2 \alpha e^{-\frac{1+k}{2-k}0.002-\varepsilon_{1pn}} + \\
& + \delta_{oc} \delta_{on} (A_c (\frac{0.004}{2-k})^{m_c} e^{-0.5\varepsilon_{1pn}-0.002} - 2k A_c (\frac{0.004}{2-k})^{m_c} e^{-\frac{1+k}{2-k}0.002+\varepsilon_{1pn}}) + \\
& + \delta_{oc}^2 A_c (\frac{0.004}{2-k})^{m_c} (1-2k) e^{-\frac{0.006}{2-k}} = 0
\end{aligned} \tag{20}$$

## Литература

- 1 Беленя Е.И., Астряб С.М., Рамазанов Э.Б. Предварительно-напряженные металлические листовые конструкции. - М.: Стройиздат, 1979. - 192 с.
- 2 Моношков А.Н., Лупин В.А., Кутепова В.И. К оценке прочности бандажированных труб // Проблема прочности. - 1972. - №2. - С. 111-114.
- 3 Воеводин А.А. Предварительно напряженные системы элементов конструкции. -М.:Стройиздат, 1989. - 298с.
- 4 Малинин Н.Н. Прикладная теория пластичности и ползучести.- М.: Машиностроение, 1975. - 400с.
- 5 Головлев В.Д. Особенности металла к глубокой вытяжке // Новые процессы обработки металлов давлением.- М.: Изд-во АН СССР, 1962. - С. 102-106.

## **Қорытынды**

Макалада алдын-ала кернеуленген кабықшалардың ішкі қысымда жұмысы кезіндегі кернеулену күйін бағалау формулалары шыгарылды. Алдын-ала кернеулеу параметрлерінің кабықшаның кернеулену күйіне әсері талданды.

## **Summary**

In clause the formulas for an estimation of the intense condition previously of intense environment are received at its job under internal pressure. The influence of parameters of a preliminary pressure on the intense condition of an environment is shown.